

# 이동 로봇 행위의 진화

이재구\*(부산대 지능기계공학과), 심인보\*\* (LG 전자), 윤중선\*\*\* (부산대 기계공학부)

## Evolutionary Learning of Mobile Robot Behaviors

\*J. Lee (Intelligent Mech. Eng. Dept. PNU), \*\*I. Shim (LG Electronics), \*\*\* J. Yoon (Mech. Eng. School, PNU)

### ABSTRACT

Adaptation in dynamic environments gains a significant advantage by combining evolution and learning. We propose an on-line, realtime evolutionary learning mechanism to determine the structure and the synaptic weights of a neural network controller for mobile robot navigations. We support our method, based on (1+1) evolutionary strategy, which produces changes during the lifetime of an individual to increase the adaptability of the individual itself, with a set of experiments on evolutionary neural controller for physical robots behaviors.

**Key Words :** Realtime Learning(실시간 학습), Evolutionary Algorithms(진화 기법), Evolutionary Robotics(진화 로봇)

### 1. 서 론

진화 로봇공학(evolutionary robotics)은 사람의 간접 없이 또는 최소한의 간접만을 허용하며 불확실하고 동적인 환경에서 스스로 적응해 나가는 로봇 시스템의 개발을 목적으로 한다. 진화 로봇은 로봇의 요소들이 인공 염색체로 표현되는 인공 진화(artificial evolution)에 기반을 두고 있다. 진화 로봇은 여러 세대에 걸쳐 천천히 환경에 적응하기 때문에 주어진 공간에서 최대의 평가 값에 의해 진화된 개체들도 환경 변화에는 신속히 대응하지 못하는 문제점을 가진다<sup>[1,2]</sup>.

이러한 문제점에 대한 대안으로, 신경 회로망(neural networks) 구조를 가지는 이동 로봇의 제어기를 결정할 (1+1) 진화 전략(evolutionary strategy)에 의한 제어기의 진화적 학습(evolutionary learning) 방법을 제안하였다<sup>[3,4]</sup>. 제안된 방법에서 학습과 진화는 실제 로봇을 통해 on-line 방식으로 이루어지며, 장애물 회피 문제를 통해 제안된 방법의 유용성을 검증한다.

### 2. 진화 로봇공학

#### 2.1 진화 로봇 제어기와 주행 환경

본 연구의 실험에 사용된 로봇은 Khepera이다<sup>[1]</sup>. 로봇의 제어기는 센서의 입력과 모터의 출력을 직접 연결시켜주는 신경 회로망 구조를 가지며 Fig. 1과 같다<sup>[1,5]</sup>.

이 구조는 Braitenberg's vehicle의 3c 형태

의 제어기 구조에 순환 연결(recurrent connections)과 시그모이드(sigmoid) 함수를 추가시켜 구성된다. 이러한 구조는 대청인 장애물의 회피를 목적으로 고안되었다<sup>[1,5,6]</sup>.

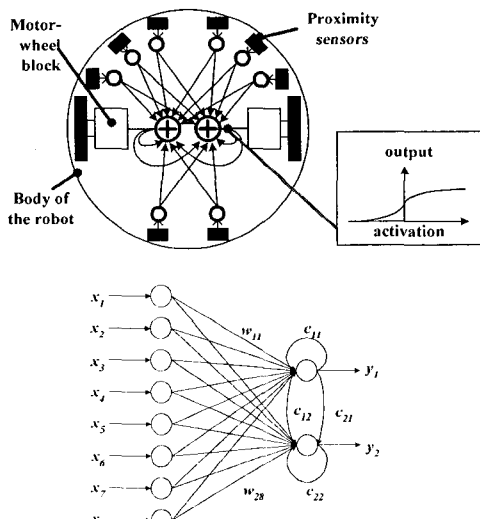


Fig. 1 A neural network controller

이 제어기의 출력 값은 식 (1)과 같이 표현된다.

$$y'_i = F \left( \sum_i w_{ij} x'_j + \sum_k c_{ik} y'^{-1}_k \right) \quad (1)$$

여기서  $y'_i$ 는 매 샘플링 시간마다 출력되는 신경회

로망의 출력값이며, 모터의 제어입력이 된다.  $w_{ij}$ 는 입력 노드와 출력 노드를 연결시켜주는 연결강도(connection weights)이고,  $x'_j$ 는 매 샘플링 시간마다의 입력 값이다. 그리고  $c_{ik}$ 는 순환 연결강도이고,  $y_k^{t-1}$ 는 이전 샘플링 시간의 출력 값이다.  $F$ 는 신경 회로망의 활성화 함수(activation function)로써 양극성 시그모이드 함수를 사용하였으며, 식 (2)와 같다<sup>[7]</sup>.

$$F(\Sigma) = \frac{1-e^{-\Sigma}}{1+e^{-\Sigma}} \quad (2)$$

장애물을 피하여 직진 주행 실험은 Fig. 2 와 같은 환경 하에서 이루어지도록 하였다. 주행 환경은 모두 목재에 흰색의 종이를 붙인 동일한 장애물로 이루어져 있으며 여러 가지 기하학적 구조를 포함하고 있다. 주행 공간의 최대 크기는 110cm \* 110cm 이다. 로봇은 PC 와 연결되어 있어 모든 진화 작업과 신경 회로망의 연산은 PC 에서 이루어진다. 시리얼 라인을 통해 신경 회로망에 의해 나온 출력 값은 로봇으로 전달되고, 로봇으로부터의 센서 입력 값은 PC 로 전달된다.

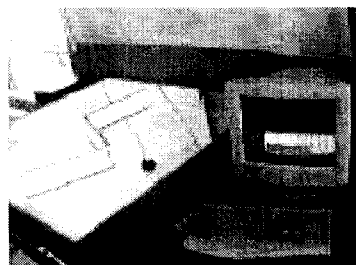


Fig. 2 Experimental setup for robot navigation

## 2.2 평가 함수

로봇을 구동시키는 제어 입력값은 매 100ms 마다 출력되는 신경 회로망의 출력값이 된다. 이 구동 결과 측정되는 로봇의 양 바퀴의 구동속도나 로봇과 주변 물체와의 거리와 같은 로봇의 상태 값으로 로봇 제어의 성능을 평가할 수 있다.

장애물 회피 직진 주행을 위한 평가함수는 식 (3)과 같다<sup>[1,5]</sup>.

$$\begin{aligned} \Phi &= V(1 - \sqrt{\Delta v})(1 - i) \\ 0 \leq V &\leq 1 \\ 0 \leq \Delta v &\leq 1 \\ 0 \leq i &\leq 1 \end{aligned} \quad (3)$$

여기서  $V$ 는 두 바퀴의 회전속도의 절대값의 평균이다. 활성화 함수의 범위가 [-1, 1]이기 때문에

$V$ 는 0 과 1 사이의 값이 되며, 두 바퀴의 회전 방향에 상관 없이 회전 속도가 빠를수록 1 에 가까운 값을 갖는다.  $\Delta v$ 는 두 바퀴 속도 차의 절대값이다.  $(1 - \sqrt{\Delta v})$ 는 바퀴의 회전 방향이 일치되고 값이 같을수록 1 에 가까운 값을 나타낸다. 제곱근을 사용한 것은 작은 속도차도 잘 반영시키기 위한 것이다. 이 두 요소의 조합으로써 로봇은 정방향 또는 역방향으로 최대의 속도를 가지고 직진 주행을 할 때 높은 평가 값을 나타낼 수 있다.

마지막으로 (1-i)는 로봇이 가지고 있는 8 개의 적외선 센서 중에서 가장 큰 값을 가지는 센서의 입력 값이다. 로봇이 가지는 적외선 센서는 5cm 의 검출범위를 가지며, 물체가 가까울수록 1 에 가까운 값을 가진다. 그러므로 주변에 장애물이 멀리 떨어져 있을 때, 1에 가까운 값을 가진다.

이러한 세가지 요소들은 로봇의 빠른 움직임, 직진 주행, 장애물 회피의 행위들을 촉진시키지만 방향성에 영향을 주지는 못한다.

## 3. 로봇 행위의 진화

이동 로봇이 장애물을 피하여 직진 주행을 하는 행위를 진화하고자 한다. 신경회로망 구조를 가지는 행위 제어기의 연결강도를 진화 대상으로 한다.

### 3.1 행위의 진화 알고리즘

로봇을 구동시키기 위한 제어기는 Fig. 1 과 같은 센서와 모터를 바로 연결하는 신경 회로망 구조를 가진다. 제어기의 연결강도는 인공 염색체로 표현된다. 평가는 매 샘플링 시간 100ms 마다 하되, 한 개체의 평가 값은 100 회를 반복한 후의 평균값으로 한다. 제어시스템에 사용된 유전자 알고리즘(genetic algorithm)의 설정 및 파라미터 값들은 Table 1 과 같다.

Table 1 Parameters for genetic algorithm

Parameters	Values
Population size, N	100
Chromosome length, l	20
Initial weight range	-0.5 ~ +0.5
Life length	100 actions
Action duration	100ms
Selection	Ranking + elite
Crossover	Multipoint Crossover
Mutation	N(0,1)
Crossover Rate, P <sub>c</sub>	0.1
Mutation Rate, P <sub>m</sub>	0.2

### 3.2 행위의 진화

장애물을 회피하여 빠른 속도로 직진 주행을 할

수 있는 이동 로봇의 제어기를 진화시키는 실험을 수행하였다. 진화는 여러 세대에 걸친 비교적 늦은 환경의 변화에 대응할 수 있는 적응의 한 형태이기 때문에 100 세대 동안 진화 과정을 반복 수행하였다. 한 개체의 평가 시간은 10sec이고, 한 세대는 1000sec, 전체 실험 시간은 약 27.8 시간이 걸렸다.

실험 결과 행위 진화 성능 그래프는 Fig. 3과 같으며, 각 세대에 있어 모든 개체의 평균 평가 값과 최고 성능을 나타낸 개체의 평가 값을 나타내고 있다.

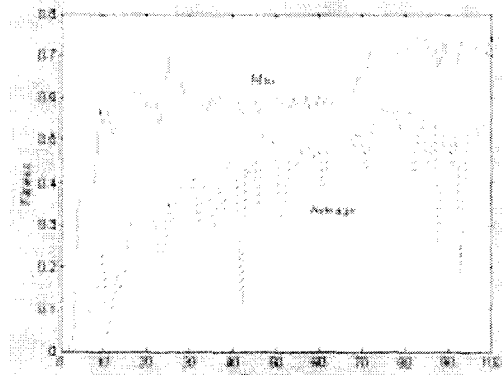


Fig. 3 Average fitness of the population and fitness of the best individual

최상의 개체의 경우 세대가 증가함에 따라 평가 값이 증가하는 경향을 보이며, 평가 값 또한 높은 값을 나타냈다. 이는 실험 환경이 비교적 열린 공간이 많기 때문이긴 하지만 개체들의 평균값들도 증가하는 경향을 볼 수 있다. 그러나 세대에 따른 개체들의 평균 평가 값들이 심한 변동을 보이는 것을 확인할 수 있었는데, 이는 그 세대에서 개체들이 대칭형 장애물 공간에서 잘 벗어나지 못했기 때문이다. 진화는 여러 세대에 걸쳐 천천히 환경에 적응하기 때문에 열린 공간에서 최대의 평가 값을 가졌던 개체들로부터 진화되어온 다음 세대의 개체들은 변화한 환경에 제대로 대응하지 못하고 낮은 평가 값을 나타낸다는 문제점을 가진다.

#### 4. 로봇 행위의 진화적 학습

이동 로봇의 장애물 회피 작전 주행하는 제어기의 진화의 경우 세대당 1000 초씩 100 세대 총 30여 시간이 걸렸다<sup>[5]</sup>. 진화 연산의 효율성 (efficiency)과 구현성(feasibility)이라는 상충의 문제에 대한 대안으로서 실시간 진화적 학습 방법을 제안한다<sup>[3,4,5,8]</sup>.

##### 4.1 행위의 진화적 학습

본 연구에서 '학습'은 개체 스스로가 자신의 적응성을 높이기 위해 신경회로망으로 구성된 제어

기의 가중치 값을 lifetime 동안 수정하는 것을 지칭하기 위해 사용된다. 즉 개체는 변화하는 환경에 잘 적응하기 위해서 매 샘플링 시간마다 신경 회로망의 가중치를 조정하는 학습 과정을 수행한다<sup>[15]</sup>.

학습을 위한 방법으로는 (1+1) 진화 전략 (evolutionary strategy)을 사용하였다<sup>[7]</sup>. 진화 전략에 있어 한 세대는 제안된 제어 알고리즘에서의 샘플링 시간이 되고, 매 샘플링 시간마다 돌연변이 연산에 의해 신경회로망의 가중치는 주어진 환경에 잘 적응할 수 있도록 조정된다. 진화적 학습을 위한 제어 시스템은 Fig. 4와 같다<sup>[8]</sup>.

진화 전략에서 개체는  $(x, \sigma)$ 와 같이 한 쌍의 실수 벡터로 표현된다.  $x$ 는 탐색공간 안의 위치 벡터이고  $\sigma$ 는 표준편차 벡터이다. 본 연구에서는  $x$ 는 신경회로망 제어기의 연결 가중치 값들이 되며 세대  $t$ 에서의 개체는 식 (4)와 같이 표현된다.

$$(x_i^t, \sigma_i^t) \quad \forall i \in \{1, \dots, n\} \quad (4)$$

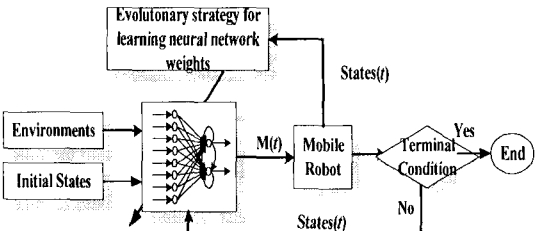


Fig. 4 Control system of evolutionary robot with realtime learning

여기서  $n$ 은 가중치의 개수이며, 본 연구에서는 20이 사용되었다. 진화 알고리즘은 지역적 탐색과 전역적 탐색과정을 통해 탐색대상의 해답을 찾는다. 유전자 알고리즘(genetic algorithm)은 교배(crossover)와 돌연변이(mutation) 연산을 통해 이를 가능하게 한다. 이에 반해 진화 전략(evolutionary strategy)은 돌연변이 연산의 표준 편차 값의 크기에 따라 전역 탐색과 지역 탐색이 가능해 진다<sup>[7]</sup>.

학습을 위한 제어기의 구조는 Fig. 1과 같다. 학습 대상은 외부로부터 자극을 받는 노드의 연결 가중치이다. 외부의 장애물을 감지한 센서와 연결된 가중치들과 순환 연결구조의 가중치들이 학습대상이 된다<sup>[8]</sup>.

신경 회로망의 가중치 조정을 위하여 돌연변이 연산에 의한 자식 개체(offspring)는

$$x_{offspring}^t = x_{parent}^t + N(0, \sigma) \quad (4)$$

와 같이 조정되고 표준 편차는

$$\sigma_{offspring}^t = \sigma_{parent}^t \cdot e^{N(0, \Delta\sigma)} \quad (5)$$

와 같이 조정된다.  $\sigma$ 의 변화에 따라 탐색 영역은 달라질 수 있으며, 평가 함수에 의한 평가 값이 이

전 세대보다 높으면  $\sigma$ 를 감소시키고 반대로 평가 값이 낮으면  $\sigma$ 를 증가시킨다.  $\sigma$ 의 증감은 식 (5)의 지수함수에 의해 결정된다.  $\sigma$ 를 평가 값의 변화에 따라 변화시키기 위해서 식 (5)를

$$\begin{aligned} & \text{if } fitness_{\text{offspring}}^{t-1} \geq fitness_{\text{offspring}}^t \\ & \quad \text{then } \sigma_{\text{offspring}}^t = \sigma_{\text{parent}}^t \cdot e^{\text{abs}(N(0, \Delta\sigma))} \\ & \quad \text{else } \sigma_{\text{offspring}}^t = \sigma_{\text{parent}}^t \cdot e^{-\text{abs}(N(0, \Delta\sigma))} \end{aligned} \quad (6)$$

처럼 수정하여 사용한다.  $\Delta\sigma$ 는  $\sigma$ 의 변화량을 결정하는데 본 실험에서는 0.3으로 난수는  $\pm 1$  사이에서 발생한다. 평가 함수는 식 (3)과 같다.

식 (7)과 같이 새롭게 생성된 자식 개체의 평가 값이 현재의 부모 개체의 평가 값보다 높으면, 현재의 자식 개체를 다음 세대의 부모 개체로 선택하고, 반대로 부모 개체의 평가 값이 높으면 현재의 부모 개체가 다음 세대의 부모 개체가 된다.

$$\begin{aligned} & \text{if } fitness_{\text{parent}}^t < fitness_{\text{offspring}}^t \\ & \quad \text{then } (x_{\text{parent}}^{t+1}, \sigma_{\text{parent}}^{t+1}) = (x_{\text{offspring}}^t, \sigma_{\text{offspring}}^t) \quad (7) \\ & \quad \text{else } (x_{\text{parent}}^{t+1}, \sigma_{\text{parent}}^{t+1}) = (x_{\text{parent}}^t, \sigma_{\text{parent}}^t) \end{aligned}$$

#### 4.2 행위의 진화

신경회로망의 가중치는 매 100ms의 샘플링 시간마다 조정되고, 10,000 번을 반복 수행한다. 평가 값이 0.5 이하이면 가중치 조정 학습이 수행되고 0.5 이상이면 가중치 조정없이 작동하게 된다.

Fig. 5는 매 샘플링 시간마다의 평가 값, 즉 진화 전략에 있어 각 세대마다의 평가 값을 나타내고 있다. Fig. 5에서 개체의 전체적인 평가 값의 평균은 종결 조건인 0.5를 유지하고 있다. 학습 단계 0~300까지는 빠른 속도로 직진하는 요소의 증가로 전체적인 평가 값이 증가하였다. 이후로는 장애물 회피 능력이 증가하여 전체적인 평가 값이 종결 조건인 0.5에 가까운 값을 나타내었다.

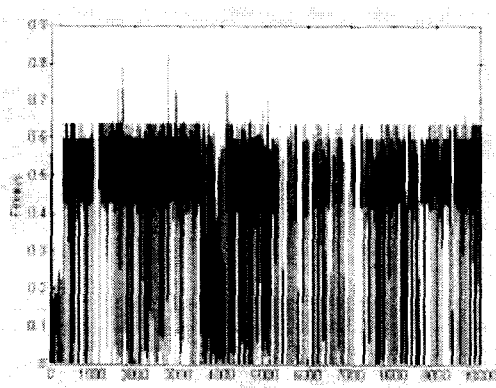


Fig. 5 Fitness of an individual vs. action duration

하지만 종결조건이 만족되어 학습이 종결된 후에는 어느 정도의 평가 값의 증가가 보이지만 장애물에 접근함에 따라 다시 평가 값이 낮아졌다. 다시 말해서 학습을 통해 개선된 개체는 현재 주어진 상황에 대해서 최적화되기 때문에 환경이 바뀌고 로봇의 상태 값이 바뀌게 되면 이전의 평가 값을 유지할 수 없게 된다. 그러나 학습을 통해 곧바로 변화된 조건에 맞는 가중치를 찾아내게 되어 평가 값을 상승시킬 수 있다.

주변 환경 변화에 대한 적응성을 알아보기 위해 3500 번째부터는 열린 공간을 줄이고 장애물을 더 침가 하였다. 그 결과로 몇 단계에 걸친 평균적인 평가 값이 낮아지긴 하였지만 학습을 통해 이를 극복하고 다시 평가 값을 증가시키는 것을 볼 수 있었다.

#### 5. 결 론

이동 로봇 제어기의 진화와 진화적 학습 방법에 대해 논의하였다. 개체는 진화와 개체 학습을 통하여 부모 세대로부터 독특한 특성을 물려 받는다. 학습으로 주어진 환경에 잘 적응한 개체들은 다음 세대에 선택될 확률이 높으며, 학습은 진화를 가속 시킬 수 있다. 진화적 학습을 통한 제어기 설계 방법은 동적으로 변화하는 환경에 뛰어난 적응성을 나타낸다. 그러나 이 방법은 진화를 통한 방법에 비해 안정적이지 못하다. 학습에 의한 적응성과 그것을 평가하여 진화함으로써 안정성을 획득할 수 있는 통합적인 진화-학습 시스템이 요구된다.

#### 참고문헌

1. Nolfi, S. and Floreano, D., *Evolutionary Robotics*, The MIT Press, Cambridge, 2000.
2. Nolfi, S. and Floreano, D., "Learning and Evolution," *Autonomous Robots*, Vol. 7, No. 1, pp. 89-113, 1999.
3. Saravanan, N. and Fogel, D. B., "Evolving Neural Control System," *IEEE Expert*, Vol. 10, No. 3, pp. 23-37, June 1995.
4. 손호영, 윤중선, "실시간 학습 제어를 위한 진화 신경망," 제 15 회 한국자동제어학술회, 현대인재개발원, 용인, 2000.
5. 이재구, 심인보, 윤중선, "이동 로봇 행위의 실시간 진화," 대한기계학회 2003년도 춘계학술대회, 해양대학교, 부산, 2003.
6. Braitenberg, V., *Vehicles: Experiments in Synthetic Psychology*, The MIT Press, Cambridge, 1984.
7. Negnevitsky, M., *Artificial Intelligence*, Addison-Wesley, San Francisco, 2002.
8. 심인보, 윤중선, "로봇 행위의 진화와 학습," 한국퍼지 및 지능시스템학회 2002년도 추계학술대회 논문집, 부경대학교, 부산, pp. 207-210, 2002.